

**ИНЖЕНЕРНАЯ МЕТОДИКА ОПРЕДЕЛЕНИЯ УПРУГИХ ХАРАКТЕРИСТИК ТОПОКОМПОЗИТОВ**

На основании жесткостной модели слоистого полупространства разработана инженерная методика определения упругой характеристики топокомпози́тов в зависимости от упругих характеристик покрытия и основного материала, толщины покрытия и степени деформации.

**Ключевые слова:** топокомпози́ты, слоистое полупространство, упругая характеристика, шероховатая поверхность, контактные характеристики, относительная площадь контакта.

Для повышения надежности соединений деталей машин, работающих в экстремальных условиях, в настоящее время широко используются различные покрытия и модифицированные поверхностные слои на основе металлов, керамик, полимеров. Тела с тонкими покрытиями было предложено называть топокомпози́тами [1].

Рассмотрим слоистое упругое тело (рис. 1), которое состоит из покрытия толщиной  $\delta$  с упругими характеристиками  $\mu_1$  и  $E_1$  и основного материала с упругими характеристиками  $\mu_0$  и  $E_0$ . Задача определения напряжений и деформаций при нагружении слоистого упругого тела чрезвычайно актуальна, в частности, для топокомпози́тов триботехнического назначения. Точное решение этой задачи при осесимметричном нагружении приведено в [2], однако оно трудоемко для инженерных расчетов. В работе [3] для этой цели предложено использовать теорию Герца. На основе достоверных результатов для крайних значений  $\delta = 0$  и  $\delta = \infty$  и с использованием двухточечной аппроксимации Паде, получено выражение для безразмерного упругогеометрического параметра, с помощью которого определяется упругая постоянная слоистого полупространства и все основные характеристики при его осесимметричном нагружении.

Авторами на основании жесткостной модели определена упругая характеристика полупространства с однослойным покрытием для любых значений  $\delta$  [4, 5]. Приведем основные результаты указанных работ в виде, удобном для их использования при определении упругой характеристики топокомпози́тов с многослойными покрытиями. Рассмотрим нагружение слоистого полупространства (рис. 1) нормальными напряжениями в круговой области:

$$p(\rho) = p_0 \sqrt{1 - \rho^2/a^2}, \quad 0 \leq \rho \leq a.$$

Следуя классическому подходу, основанному на применении потенциальных функций Буссинеску, перемещение любой точки по оси симметрии внутри однородного полупространства для случая его нагружения распределенной нагрузкой [6] определяется выражением

$$u_z = \frac{1 + \mu}{2\pi E} \left[ 2(1 - \mu)\psi - z \frac{d\psi}{dz} \right], \quad (1)$$

где  $E$  – модуль упругости; и  $\mu$  – коэффициент Пуассона;

$$\psi = \iint_s p(\rho) \frac{1}{R} \rho d\rho d\varphi, \quad R = \sqrt{\rho^2 + z^2};$$

или с учетом выражения (1) и того, что  $\bar{\rho} = \rho/a$  и  $\bar{z} = z/a$ ,

$$\psi = 4p_0 a \int_0^1 \int_0^{\pi/2} \frac{\sqrt{1 - \bar{\rho}^2} \bar{\rho} d\bar{\rho} d\varphi}{\sqrt{\bar{\rho}^2 + \bar{z}^2}},$$

$$\psi = \pi p_0 a [(1 + \bar{z}) \operatorname{arctg} \bar{z} - \bar{z}]. \quad (2)$$

Подставляя выражение (2) в (1) получим

$$u_z = \theta p_0 a K(\bar{z}, \mu), \quad (3)$$

где  $\theta = (1 - \mu^2)/E$ ;

$$K(\bar{z}, \mu) = \operatorname{arctg} \bar{z} - \frac{\mu}{1 - \mu} \bar{z} (1 - \operatorname{arctg} \bar{z}).$$

Перемещения точки  $O$  (рис. 1), находящейся на оси  $z$  под нагрузкой, можно представить в виде суммы перемещений слоя  $\omega_\delta$  и основания  $\omega_a$ :

$$\omega_0 = \omega_\delta + \omega_a.$$

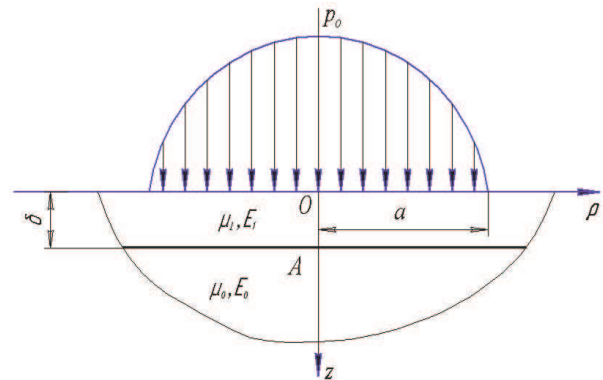


Рис. 1. Схема нагружения слоистого полупространства

Схему (рис.1) можно представить в виде рис. 3, а. Тогда перемещения

$$\omega_\delta = P c_1, \quad \omega_a = P c_0, \quad \omega_0 = P(c_1 + c_0),$$

где  $c_1, c_0$  – жесткости слоя и основного материала.

\* - автор, с которым следует вести переписку

Введем два однородных полупространства с упругими характеристиками  $\mu_1, E_1$  и  $\mu_0, E_0$ , нагруженные соответственно силами  $P_1$  и  $P_0$  (рис. 3).

Силы  $P_1$  и  $P_0$  и соответственно максимальные давления  $p_{01}$  и  $p_{00}$  выбираются из условия равенства перемещений:  $\omega_\delta = \omega_1$ ;  $\omega_a = \omega_0$ .

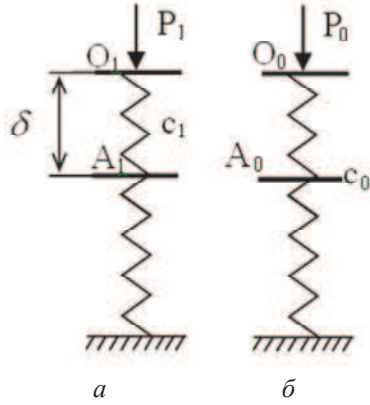


Рис. 2. Схемы однородных полупространств

Упростим обозначения, приняв  $K_i(0, \mu_i) = K_i(0)$ ,  $K_i(\bar{\delta}, \mu_i) = K_i(\bar{\delta})$ .

Тогда  $\omega_\delta = \theta_1 p_{01} a [K_1(0) - K_1(\bar{\delta})]$ .

Для схемы (рис. 2, б)

$$\omega_{A0} = u_{zA0} = \theta_0 p_{00} a K_0(\bar{\delta});$$

$$c_1 = \frac{u_{zO1} - u_{zA1}}{P_1}, \quad c_0 = \frac{u_{zA0}}{P_0}. \quad (3)$$

Для схемы (рис. 3, а)

$$\omega_0 = \frac{P}{P_1} (u_{zO1} - u_{zA1}) + \frac{P}{P_0} u_{zA0}.$$

Из эквивалентности схем нагружения на рис. 4, а и 4, б следует:

$$P = P_1 \frac{c_1}{c_1 + c_0} + P_0 \frac{c_0}{c_1 + c_0}, \quad (4)$$

или 
$$P_0 = p_{01} \frac{c_1}{c_1 + c_0} + p_{00} \frac{c_0}{c_1 + c_0}. \quad (5)$$

Значение  $p_{01}$  определим из условий равенства сжатия покрытия толщиной  $\delta$  для слоистого тела под нагрузкой  $p_0$  и однородного материала под нагрузкой  $p_{01}$ :

$$\theta p_{01} a [K_{01}(0) - K_{01}(\bar{\delta})] = \theta_1 p_{01} a [K_1(0) - K_1(\bar{\delta})],$$

$$p_{01} = \frac{\theta}{\theta_1} \frac{K_{01}(0) - K_{01}(\bar{\delta})}{K_1(0) - K_1(\bar{\delta})} p_0. \quad (6)$$

Значение  $p_{00}$  определим из условия равенства перемещений при  $z = \delta$  слоистого тела под нагрузкой  $p_0$  и однородного материала при  $z = \delta$  под нагрузкой  $p_{00}$ :

$$\theta p_0 a K_{01}(\bar{\delta}) = \theta_0 p_{00} a K_0(\bar{\delta}), \quad p_{00} = \frac{\theta}{\theta_0} \frac{K_{01}(\bar{\delta})}{K_0(\bar{\delta})} p_0. \quad (7)$$

Для схемы (рис. 3, а)

$$\omega_\delta = \omega_{O1} - \omega_{A1} = u_{zO1} - u_{zA1} = \theta_1 p_{01} a [K_1(0, \mu_1) - K_1(\bar{\delta}, \mu_1)],$$

где  $\bar{\delta} = \delta/a$ .

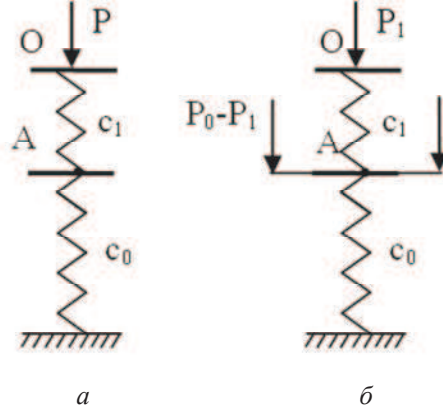


Рис. 3. Эквивалентная схема нагружения слоистого полупространства

Выражения (3) представим в виде

$$c_1 = \frac{3\theta_1}{2\pi a} [K_1(0) - K_1(\bar{\delta})] \quad (8)$$

$$c_0 = \frac{3\theta_0}{2\pi a} K_0(\bar{\delta}) = \frac{3\theta_0}{2\pi a} \cdot \frac{p_{01}}{p_{00}} K_1(\bar{\delta}).$$

С учетом выражений (6) и (7) имеем

$$c_0 = \frac{3\theta_0}{2\pi a} \cdot \frac{K_{01}(0) - K_{01}(\bar{\delta})}{K_1(0) - K_1(\bar{\delta})} \cdot \frac{K_0(\bar{\delta})}{K_{01}(\bar{\delta})} \cdot K_1(\bar{\delta}) \quad (9)$$

Подставляя выражения (6), (7), (8) и (9) в (5) и учитывая, что  $K_1(0) = K(0)$ , получим

$$\theta_{01} = \theta_1 F_{1\delta},$$

где 
$$F_{1\delta} = \frac{1}{K_1(0)} \left[ \frac{(K_1(0) - K_1(\bar{\delta}))^2}{K(0) - K(\bar{\delta})} + K_1(\bar{\delta}) \frac{K_0(\bar{\delta})}{K(\bar{\delta})} \cdot \frac{\theta_0}{\theta_1} \right]. \quad (10)$$

При  $\delta = 0$   $\theta_{01} = \theta_0$ ; при  $\delta = \infty$   $\theta_{01} = \theta_1$ , т.е. для крайних значений толщины покрытия упругая характеристика соответствует однородному телу основания и покрытия.

Так как значения функции  $K(\bar{\delta}, \mu)$  для  $\mu = 0,3 \dots 0,5$  изменяются незначительно, то с большой степенью точности (погрешность менее 1 %) можно принять

$$\mu_{01} = \mu_1 - \frac{\mu_1 - \mu_0}{1 - \theta_0/\theta_1} F_\delta$$

и решать уравнение (10) относительно  $F_\delta$  с начальным приближением:

$$F_{1\delta 0} = F_{1\delta} \Big|_{\mu_{01} = 0,5(\mu_1 + \mu_0)}.$$

Рассмотрим контакт жесткой сферы радиусом  $R$  со слоистым полупространством (рис. 4). Согласно данным [4] радиус площадки контакта

$$a = \left( \frac{3PR\theta}{4} \right)^{\frac{1}{3}}.$$

Перемещение точки  $O$  (рис. 4, *a*) может быть представлено в виде суммы перемещений покрытия и основания под нагрузкой  $P$ :

$$\omega_0 = \omega_\delta + \omega_a.$$

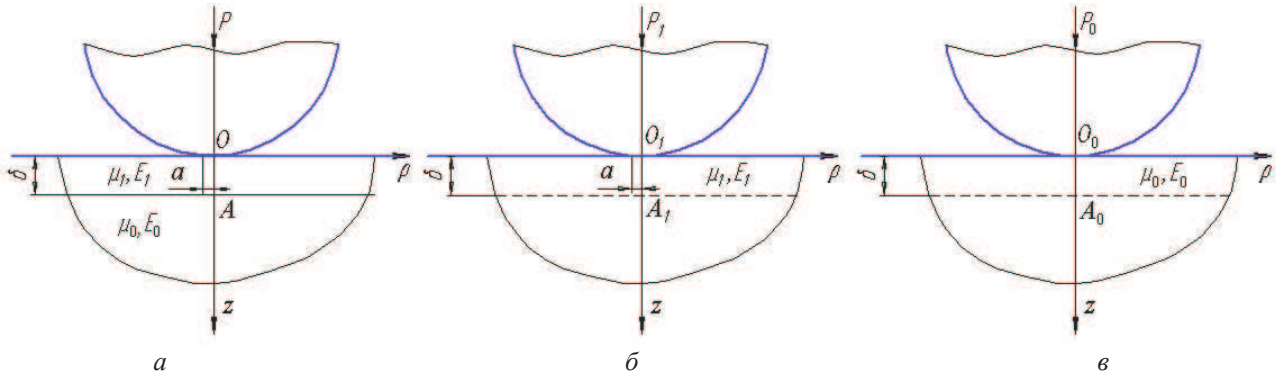


Рис. 4. Расчетная схема контактирования (*a*) и схемы контакта сферы с однородным полупространством, имеющим характеристики  $\mu_1, E_1$  (*б*) и  $\mu_0, E_0$  (*в*)

В соответствии с ранее использованным подходом  $\omega_0 = \omega_1 + \omega_2$ .

Сжатие однородного слоя толщиной  $\delta$  определяем выражением

$$\omega_1 = \theta_1 p_{01} a [K_1(0) - K_1(\delta)] = \frac{3\theta_1 P_1}{2\pi a} [K_1(0) - K_1(\delta)],$$

или с учетом (11)

$$\omega_1 = \frac{1}{2\pi} \left( \frac{6^2 \theta_1^2 P_1^2}{R} \right)^{\frac{1}{3}} [K_1(0) - K_1(\delta)].$$

Соответствующая жесткость равна

$$c_1 = \frac{\omega_1}{P_1} = \frac{1}{\pi} \left( \frac{9\theta_1^2}{2RP_1} \right)^{\frac{1}{3}} [K_1(0) - K_1(\delta)]. \quad (11)$$

Перемещения точек  $A_1$  и  $A_0$  должны быть равны. Тогда

$$c_0 = \frac{\omega_0}{P_0} = \frac{\omega_1}{P_0} = \frac{1}{\pi} \left( \frac{9\theta_1^2 P_1^2}{RP_0^3} \right)^{\frac{1}{3}} K_1(\delta). \quad (12)$$

Значение  $P_1$  определяем из условия равенства перемещений, при  $z = \delta$ , слоистого упругого тела под нагрузкой  $P$  и однородного материала под нагрузкой  $P_1$ :

$$\begin{aligned} & \frac{1}{\pi} \left( \frac{9\theta^2 P^2}{2R} \right)^{\frac{1}{3}} [K(0) - K(\delta)] = \\ & = \frac{1}{\pi} \left( \frac{9\theta_1^2 P_1^2}{2R} \right)^{\frac{1}{3}} [K_1(0) - K_1(\delta)], \\ & P_1 = \frac{\theta}{\theta_1} \left( \frac{K(0) - K(\delta)}{K_1(0) - K_1(\delta)} \right)^{\frac{3}{2}} P. \end{aligned} \quad (13)$$

Введем две новые схемы контактирования (рис. 4, *б, в*) сферы радиусом  $R$  под нагрузками  $P_1$  и  $P_0$  с однородными полупространствами, имеющими упругие характеристики  $\mu_1, E_1$  и  $\mu_0, E_0$  соответственно.

Значение  $P_0$  определим из условия равенства перемещений, при  $z = \delta$ , слоистого упругого тела под нагрузкой  $P$  и однородного материала под нагрузкой  $P_0$ . В результате получим

$$P_0 = \frac{\theta}{\theta_0} \left( \frac{K(\delta)}{K_0(\delta)} \right)^{\frac{3}{2}} P. \quad (14)$$

Подставляя (11), (12), (13) и (14) в (4) и учитывая, что  $K_0(0) = K_1(0)$ , получим

$$\theta_{01} = \theta_1 F_{1R},$$

где

$$F_{1R} = \frac{1}{K_1(0)} \left[ \frac{(K_1(0) - K_1(\delta))^2}{K(0) - K(\delta)} + K_1(\delta) \left( \frac{K_0(\delta)}{K(\delta)} \right)^{\frac{3}{2}} \frac{\theta_0}{\theta_1} \right]. \quad (15)$$

При  $\delta = 0$   $\theta_{01} = \theta_0$ , при  $\delta = \infty$   $\theta_{01} = \theta_1$ , т.е. для крайних значений толщины покрытия упругая характеристика соответствует однородному телу основания и покрытия.

Следует отметить, что выражение (15) отличается от аналогичного (10) только показателем степени во втором слагаемом.

Как показал анализ зависимостей (10) и (15), отклонения между ними для  $\delta = 0...20$  не превышали 0,2%. Поэтому для инженерных расчетов можно принять  $F_{1R} \cong F_{1\delta} = F_1$ .

Для случая контакта гладкой жесткой сферы со слоистым полупространством сближение тел определяется выражением

$$\omega = \omega_1 F_1^{\frac{2}{3}}.$$

Для радиуса контакта и максимального давления  $p_0$  получим

$$a = a_1 F_1^{\frac{1}{3}}, \quad p_0 = p_{01} F_1^{-\frac{2}{3}}.$$

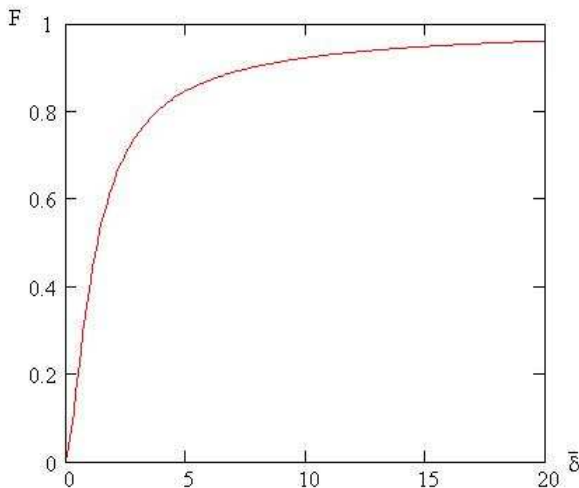


Рис. 5. Зависимость параметра  $F$  от  $\bar{\delta}$  для  $E_1 = 2,39$  ГПа,  $\mu_1 = 0,38$ ,  $E_0 = 201$  ГПа,  $\mu_0 = 0,3$

Зависимость  $F_1(\bar{\delta})$  представлена на рис. 5. Для  $\bar{\delta} = 0$  значение  $F_1 = \theta_0/\theta_1$ , для  $\bar{\delta} \rightarrow \infty$  значение  $F_1 \rightarrow 1$ . Существенное увеличение параметра  $F_1$  наблюдается в диапазоне  $\bar{\delta} = 0 \dots 5$ .

Для двухслойного покрытия, когда добавляется верхний слой толщиной  $\delta_2$  с упругими характеристиками  $\mu_2$  и  $E_2$ , по аналогии с выражением (10) получим

$$F_2 = \frac{1}{K_2(0)} \left[ \frac{(K_2(0) - K_2(\bar{\delta}_2))^2}{K_{02}(0) - K_{02}(\bar{\delta}_2)} + K_2(\bar{\delta}_2) \frac{K_{01}(\bar{\delta}_2)}{K_{02}(\bar{\delta}_2)} \cdot \frac{\theta_{01}}{\theta_2} \right]$$

При определении  $K_{02}(\bar{\delta}_2)$  следует использовать значение

$$\mu_{02} = \mu_2 - \frac{\mu_2 - \mu_{01}}{1 - \theta_{01}/\theta_2} F_2.$$

Применение двухслойных покрытий позволяет более эффективно получать топокомпозиаты с заданными характеристиками и трибологическими свойствами. При этом материал основы должен обеспечивать прочность конструкции, нижнее покрытие – необходимую жесткость, а верхнее – заданные трибологические характеристики.

#### Литература

1. Воронин, Н.А. Топокомпозиаты – новый класс конструкционных материалов триботехнического назначения. Ч.1 / Н.А. Воронин // Трение и износ. – 1999. – Т. 20. – № 3. – С. 313–320.
2. Макушкин, А.П. Полимеры в узлах трения и уплотнениях при низких температурах / А.П. Макушкин. – М.: Машиностроение, 1993. – 288 с.
3. Воронин, Н.А. Применение теории упругого контакта Герца к расчету напряженно-деформированного состояния слоистого упругого тела /

Н.А. Воронин // Трение и износ. – 1993. – Т. 14. – № 5. – С. 250–258.

4. Огар, П.М. К расчету напряженно-деформированного состояния слоистого упругого тела / П.М. Огар, О.В. Максимова, А.Н. Автушко [и др.] // Труды БрГУ. – Т.2. – Братск: БрГУ, 2006. – С. 297–302.

5. Огар, П.М. Контакт шероховатой поверхности со слоистым упругим полупространством / П.М. Огар, О.В. Максимова, А.Н. Автушко [и др.] // Труды БрГУ. – Т.2. – Братск: БрГУ. – 2006. – С. 302–307.

6. Джонсон, К. Механика контактного взаимодействия / К. Джонсон. – М.: Мир, 1989. – 510 с.